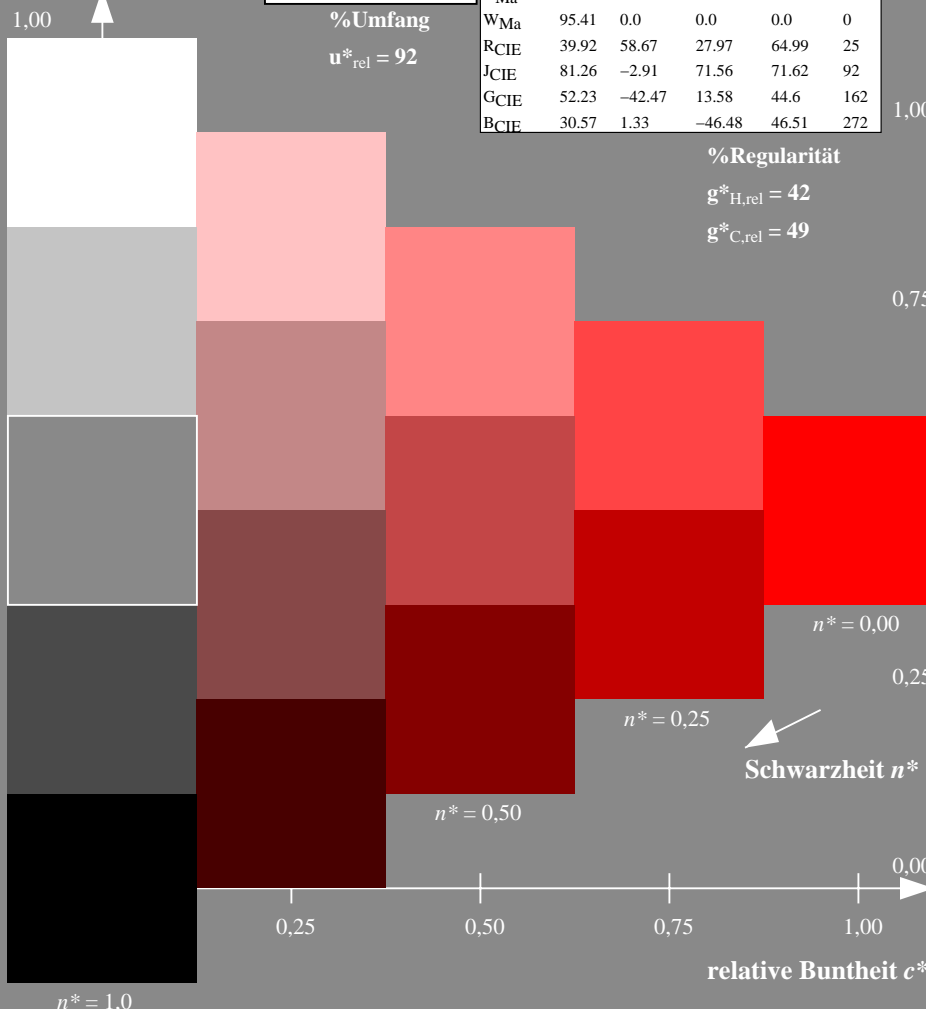
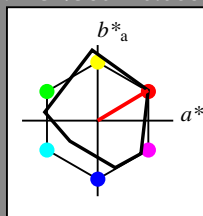


Eingabe: Farbmatisches Reflexions-System MRS18a

für Buntton  $h^* = lab^*h = 31/360 = 0.086$   
 $lab^*tch$  und  $lab^*nch$

D65: Buntton R  
 LCH\*Ma: 50 78 31  
 rgb\*Ma: 1.0 0.0 0.0

Dreiecks-Helligkeit

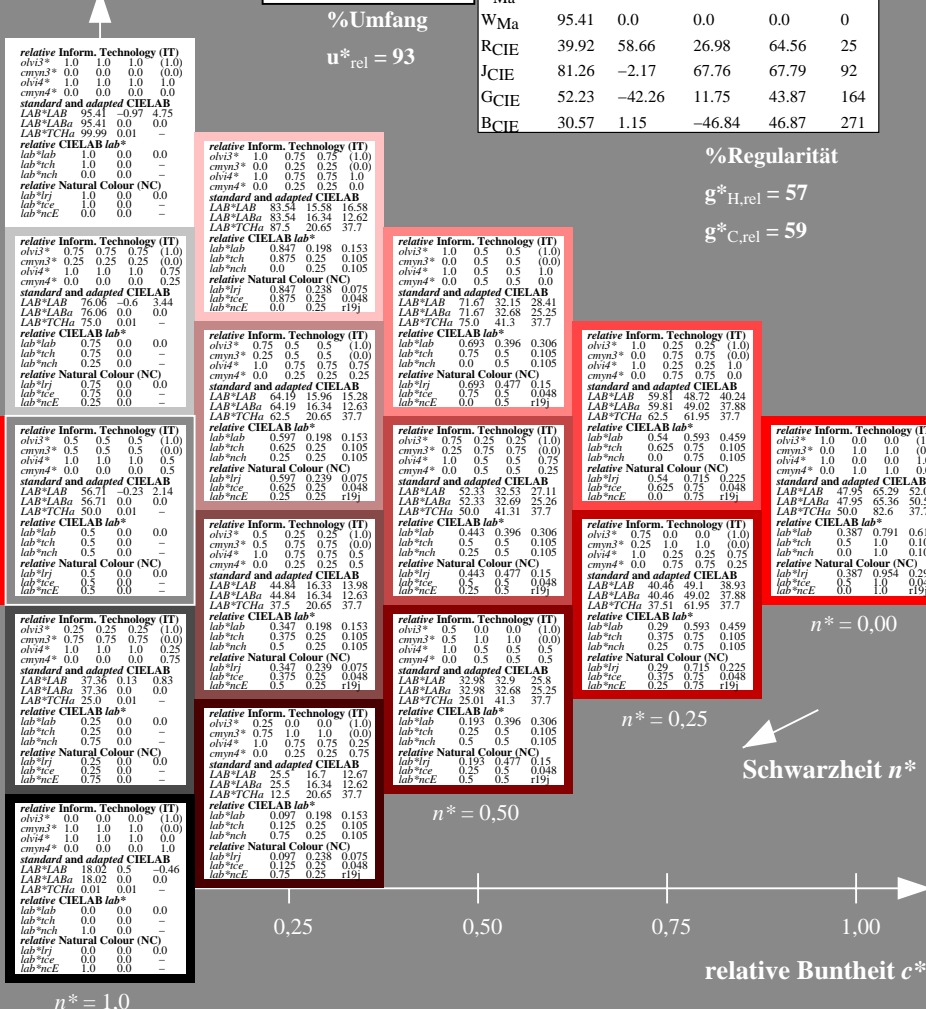
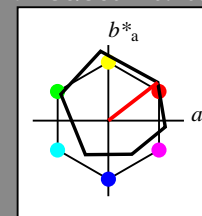


Ausgabe: Farbmatisches Reflexions-System ORS18

für Buntton  $h^* = lab^*h = 38/360 = 0.105$   
 $lab^*tch$  und  $lab^*nch$

D65: Buntton O  
 LCH\*Ma: 48 83 38  
 rgb\*Ma: 1.0 0.0 0.0

Dreiecks-Helligkeit



UG460-7, 5 stufige Reihen für konstanten CIELAB Buntton 31/360 = 0.086 (links)

5 stufige Reihen für konstanten CIELAB Buntton 38/360 = 0.105 (rechts)

BAM-Prüfvorlage UG46; Farbmatrik-Systeme MRS18a & ORS18 Input: `cmY0* setcmYcolor`

D65: 5stufige Farbreihen und Koordinaten-Daten für 10 Bunttöne Output: `olv* setrgbcolor / w* setgray`

Siehe ähnliche Dateien: <http://www.ps.bam.de/UG46/>  
 Technische Information: <http://www.ps.bam.de> Version 2.1, io=0.1, CIEXYZ

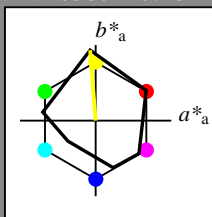
BAM-Registrierung: 20060101-UG46/10L/L46G00FP.PS/.PDF BAM-Material: Code=th4ta  
 Anwendung für Beurteilung und Messung von Drucker- oder Monitorssystemen, Yr=2.5, XYZ  
 UG46 Form: 1/10, Serie: 1/1, Seite: 1  
 Seitenhang 1

Eingabe: Farbmatisches Reflexions-System MRS18a

für Buntton  $h^* = lab^*h = 94/360 = 0.262$   
 $lab^*tch$  und  $lab^*nch$

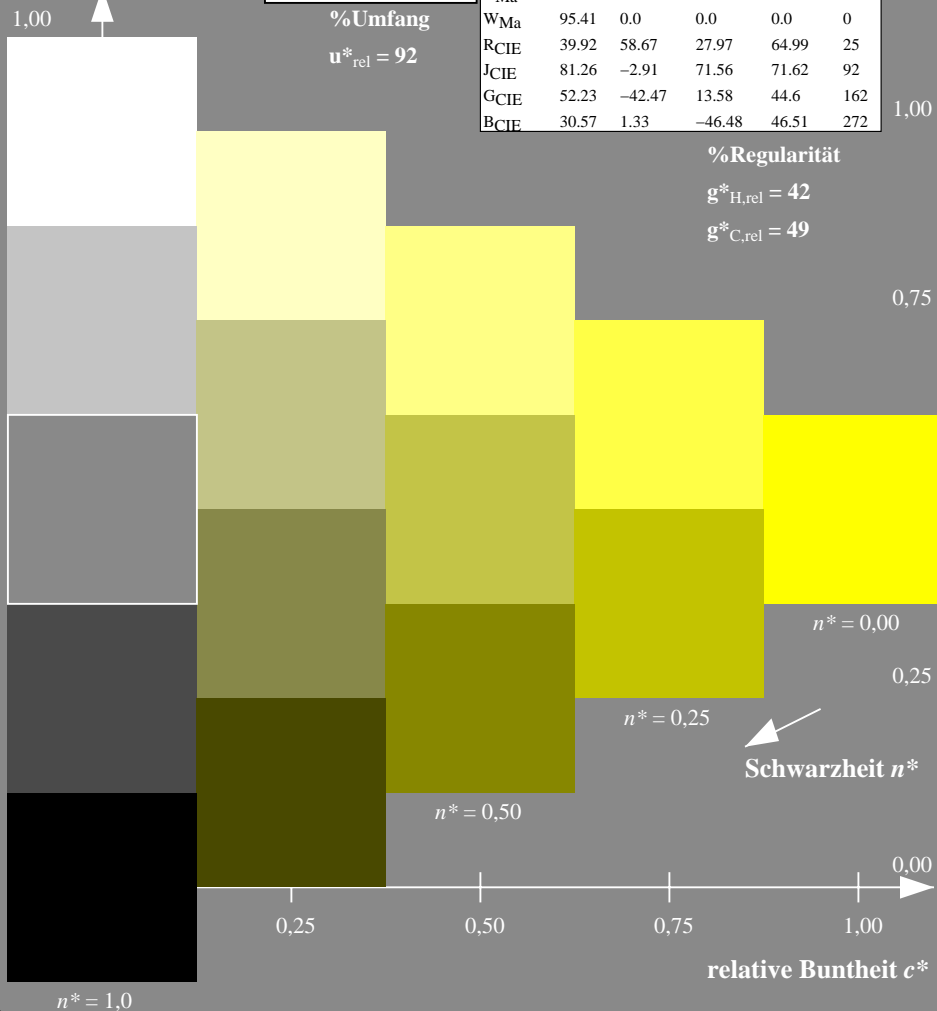
D65: Buntton J  
 LCH\*Ma: 91 93 94  
 rgb\*Ma: 1.0 1.0 0.0

Dreiecks-Helligkeit



%Umfang

$u^*_{rel} = 92$



UG460-7, 5stufige Reihen für konstanten CIELAB Buntton  $94/360 = 0.262$  (links)

BAM-Prüfvorlage UG46; Farbmatisches Reflexions-System MRS18a & ORS18

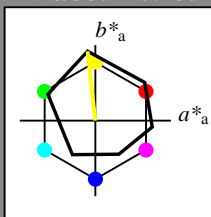
D65: 5stufige Farbreihen und Koordinaten-Daten für 10 Bunttöneoutput:  $cmY0^* setcmykcolor$

Ausgabe: Farbmatisches Reflexions-System ORS18

für Buntton  $h^* = lab^*h = 96/360 = 0.268$   
 $lab^*tch$  und  $lab^*nch$

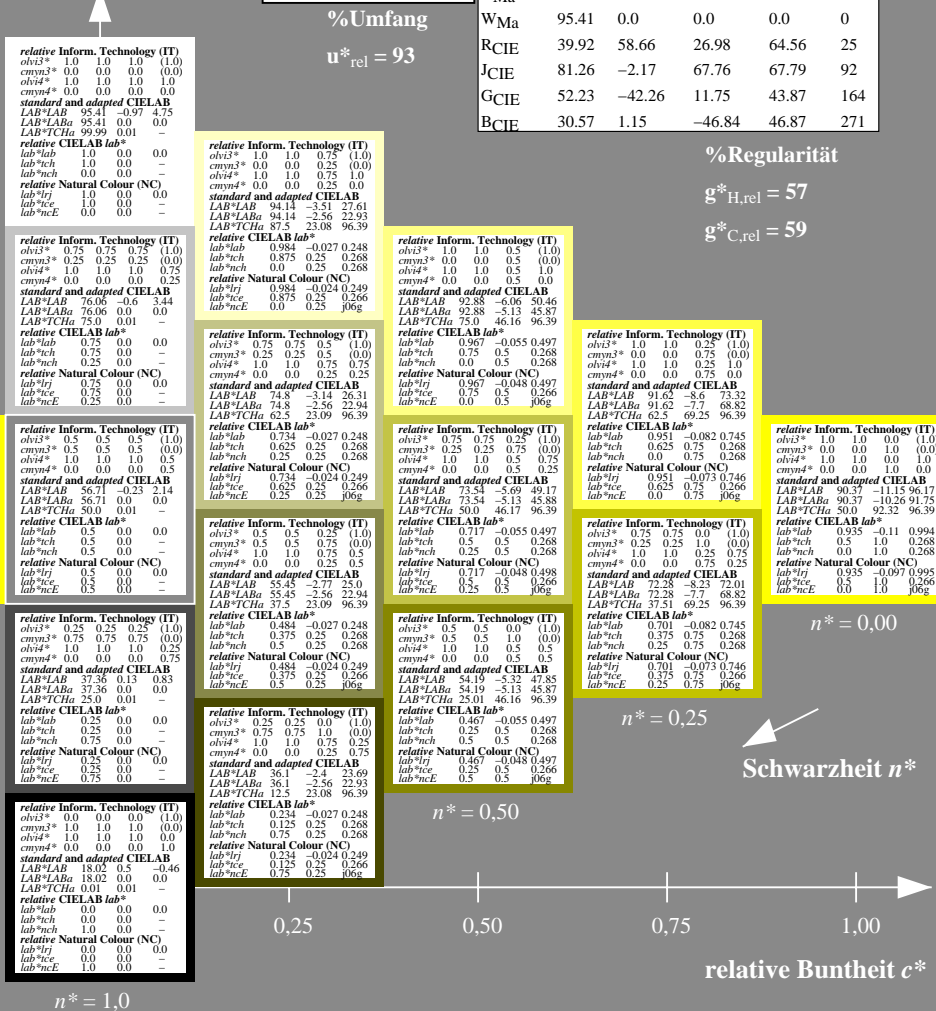
D65: Buntton Y  
 LCH\*Ma: 90 92 96  
 rgb\*Ma: 1.0 1.0 0.0

Dreiecks-Helligkeit



%Umfang

$u^*_{rel} = 93$



5 stufige Reihen für konstanten CIELAB Buntton  $96/360 = 0.268$  (rechts)

MRS18a; adaptierte CIELAB-Daten

	$L^*=L^*_a$	$a^*_a$	$b^*_a$	$C^*_{ab,a}$	$h^*_{ab,a}$
RMa	49.63	66.8	40.02	77.87	31
JMa	90.7	-7.27	93.19	93.48	94
GMa	52.11	-69.93	11.26	70.85	171
G50B <sub>Ma</sub>	45.03	-36.65	-27.13	45.61	217
B <sub>Ma</sub>	36.65	23.26	-62.27	66.49	290
B50R <sub>Ma</sub>	34.94	57.27	-43.6	71.99	323
N <sub>Ma</sub>	18.01	0.0	0.0	0.0	0
W <sub>Ma</sub>	95.41	0.0	0.0	0.0	0
RCIE	39.92	58.67	27.97	64.99	25
JCIE	81.26	-2.91	71.56	71.62	92
GCIE	52.23	-42.47	13.58	44.6	162
BCIE	30.57	1.33	-46.48	46.51	272

%Regularität

$g^*_{H,rel} = 42$

$g^*_{C,rel} = 49$

1.00

0.75

$n^* = 0.00$

0.25

$n^* = 0.25$

$n^* = 0.50$

$n^* = 1.0$

ORS18; adaptierte CIELAB-Daten

	$L^*=L^*_a$	$a^*_a$	$b^*_a$	$C^*_{ab,a}$	$h^*_{ab,a}$
OMa	47.94	65.37	50.52	82.62	38
YMa	90.37	-10.27	91.77	92.34	96
LMa	50.9	-62.79	34.95	71.87	151
CMa	58.62	-30.35	-45.01	54.3	236
V <sub>Ma</sub>	25.71	31.11	-44.42	54.24	305
M <sub>Ma</sub>	48.13	75.27	-8.35	75.73	354
N <sub>Ma</sub>	18.01	0.0	0.0	0.0	0
W <sub>Ma</sub>	95.41	0.0	0.0	0.0	0
RCIE	39.92	58.66	26.98	64.56	25
JCIE	81.26	-2.17	67.76	67.79	92
GCIE	52.23	-42.26	11.75	43.87	164
BCIE	30.57	1.15	-46.84	46.87	271

%Regularität

$g^*_{H,rel} = 57$

$g^*_{C,rel} = 59$

$n^* = 0.00$

$n^* = 0.25$

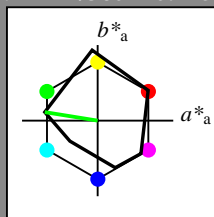
$n^* = 0.50$

$n^* = 1.0$

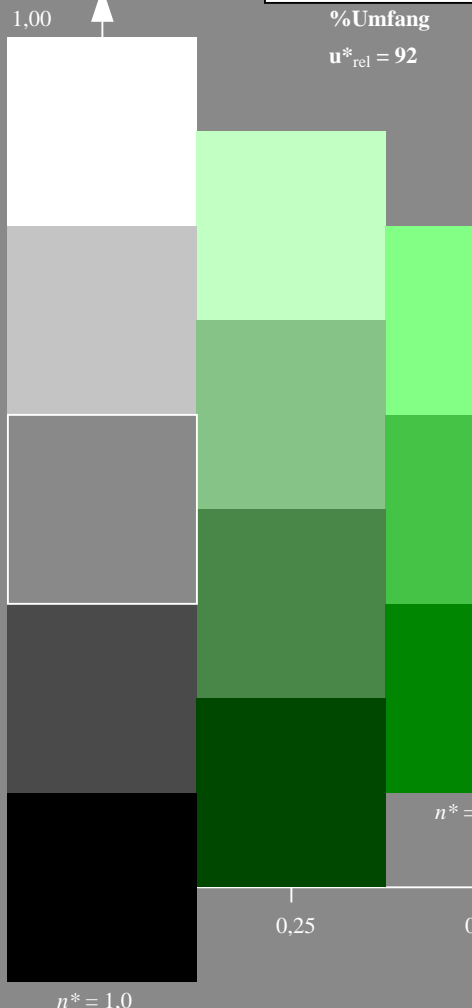
Eingabe: Farbmetrisches Reflexions-System MRS18a  
 für Buntton  $h^* = lab^*h = 171/360 = 0.475$   
 $lab^*tch$  und  $lab^*nch$

D65: Buntton G  
 LCH\*Ma: 52 71 171  
 rgb\*Ma: 0.0 1.0 0.0

Dreiecks-Helligkeit



% Umfang  
 $u^*_{rel} = 92$



UG460-7, 5 stufige Reihen für konstanten CIELAB Buntton 171/360 = 0.475 (links)

MRS18a; adaptierte CIELAB-Daten

	$L^*=L^*_a$	$a^*_a$	$b^*_a$	$C^*_{ab,a}$	$h^*_{ab,a}$
RMa	49.63	66.8	40.02	77.87	31
JMa	90.7	-7.27	93.19	93.48	94
GMa	52.11	-69.93	11.26	70.85	171
G50B <sub>Ma</sub>	45.03	-36.65	-27.13	45.61	217
B <sub>Ma</sub>	36.65	23.26	-62.27	66.49	290
B50R <sub>Ma</sub>	34.94	57.27	-43.6	71.99	323
N <sub>Ma</sub>	18.01	0.0	0.0	0.0	0
W <sub>Ma</sub>	95.41	0.0	0.0	0.0	0
RCIE	39.92	58.67	27.97	64.99	25
JCIE	81.26	-2.91	71.56	71.62	92
GCIE	52.23	-42.47	13.58	44.6	162
BCIE	30.57	1.33	-46.48	46.51	272

%Regularität

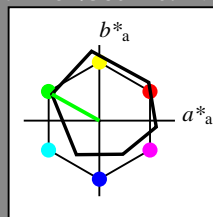
$g^*_{H,rel} = 42$

$g^*_{C,rel} = 49$

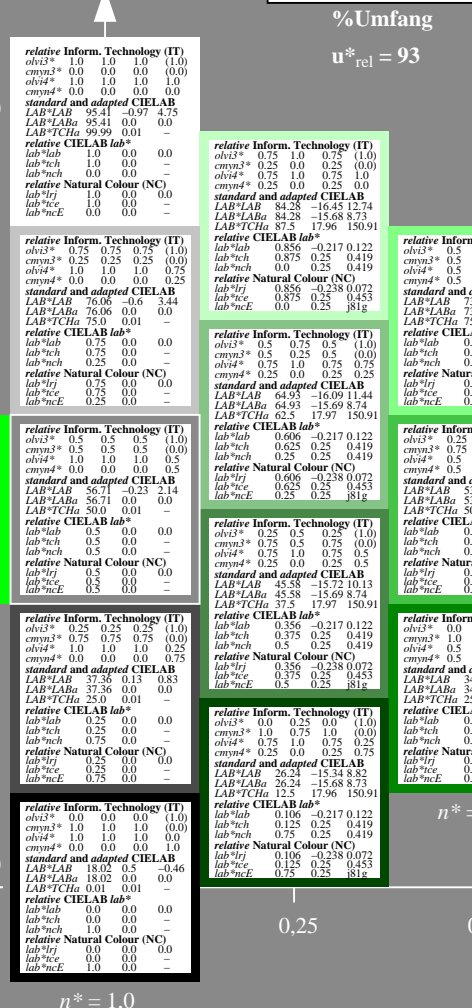
Ausgabe: Farbmetrisches Reflexions-System ORS18  
 für Buntton  $h^* = lab^*h = 151/360 = 0.419$   
 $lab^*tch$  und  $lab^*nch$

D65: Buntton L  
 LCH\*Ma: 51 72 151  
 rgb\*Ma: 0.0 1.0 0.0

Dreiecks-Helligkeit



% Umfang  
 $u^*_{rel} = 93$



5 stufige Reihen für konstanten CIELAB Buntton 151/360 = 0.419 (rechts)

ORS18; adaptierte CIELAB-Daten

	$L^*=L^*_a$	$a^*_a$	$b^*_a$	$C^*_{ab,a}$	$h^*_{ab,a}$
OMa	47.94	65.37	50.52	82.62	38
YMa	90.37	-10.27	91.77	92.34	96
LMa	50.9	-62.79	34.95	71.87	151
CMa	58.62	-30.35	-45.01	54.3	236
VMa	25.71	31.11	-44.42	54.24	305
MMa	48.13	75.27	-8.35	75.73	354
N <sub>Ma</sub>	18.01	0.0	0.0	0.0	0
W <sub>Ma</sub>	95.41	0.0	0.0	0.0	0
RCIE	39.92	58.66	26.98	64.56	25
JCIE	81.26	-2.17	67.76	67.79	92
GCIE	52.23	-42.26	11.75	43.87	164
BCIE	30.57	1.15	-46.84	46.87	271

%Regularität

$g^*_{H,rel} = 57$

$g^*_{C,rel} = 59$

BAM-Prüfvorlage UG46; Farbmetrik-Systeme MRS18a & ORS18 Input:  $cmY0^* setcmykcolor$

D65: 5stufige Farbreihen und Koordinaten-Daten für 10 Bunttöne Output:  $olv^* setrgbcolor / w^* setgray$

Siehe ähnliche Dateien: <http://www.ps.bam.de/UG46/>  
 Technische Information: <http://www.ps.bam.de/Version 2.1, io=0.1, CIEXYZ>

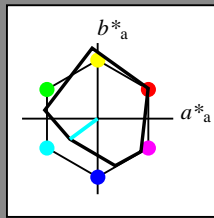
BAM-Registrierung: 20060101-UG46/10L/L46G02FP.PS/.PDF BAM-Material: Code=th4ta  
 Anwendung für Beurteilung und Messung von Drucker- oder Monitorssystemen, Yr=2.5, XYZ  
 /UG46/ Form: 3/10, Serie: 1/1, Seite: 3  
 Seitenhang 3

Eingabe: Farbmetrisches Reflexions-System MRS18a

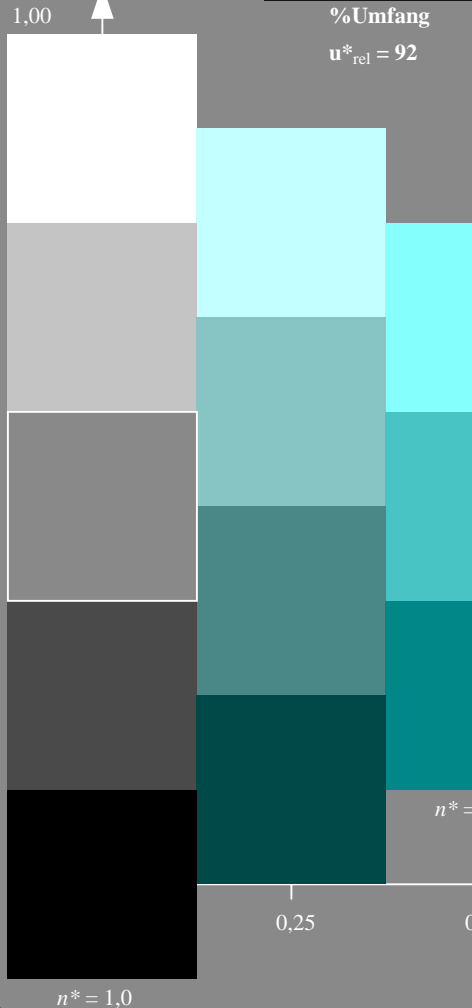
für Buntton  $h^* = lab^*h = 217/360 = 0.601$   
 $lab^*tch$  und  $lab^*nch$

D65: Buntton G50B  
 LCH\*Ma: 45 46 217  
 rgb\*Ma: 0.0 1.0 1.0

Dreiecks-Helligkeit



%Umfang  
 $u^*_{rel} = 92$



MRS18a; adaptierte CIELAB-Daten

	$L^*=L^*_a$	$a^*_a$	$b^*_a$	$C^*_{ab,a}$	$h^*_{ab,a}$
RMa	49.63	66.8	40.02	77.87	31
JMa	90.7	-7.27	93.19	93.48	94
GMa	52.11	-69.93	11.26	70.85	171
G50B <sub>Ma</sub>	45.03	-36.65	-27.13	45.61	217
B <sub>Ma</sub>	36.65	23.26	-62.27	66.49	290
B50R <sub>Ma</sub>	34.94	57.27	-43.6	71.99	323
N <sub>Ma</sub>	18.01	0.0	0.0	0.0	0
W <sub>Ma</sub>	95.41	0.0	0.0	0.0	0
RCIE	39.92	58.67	27.97	64.99	25
JCIE	81.26	-2.91	71.56	71.62	92
GCIE	52.23	-42.47	13.58	44.6	162
BCIE	30.57	1.33	-46.48	46.51	272

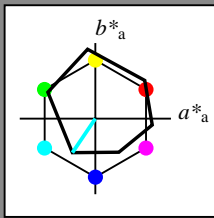
%Regularität  
 $g^*_{H,rel} = 42$   
 $g^*_{C,rel} = 49$

Ausgabe: Farbmetrisches Reflexions-System ORS18

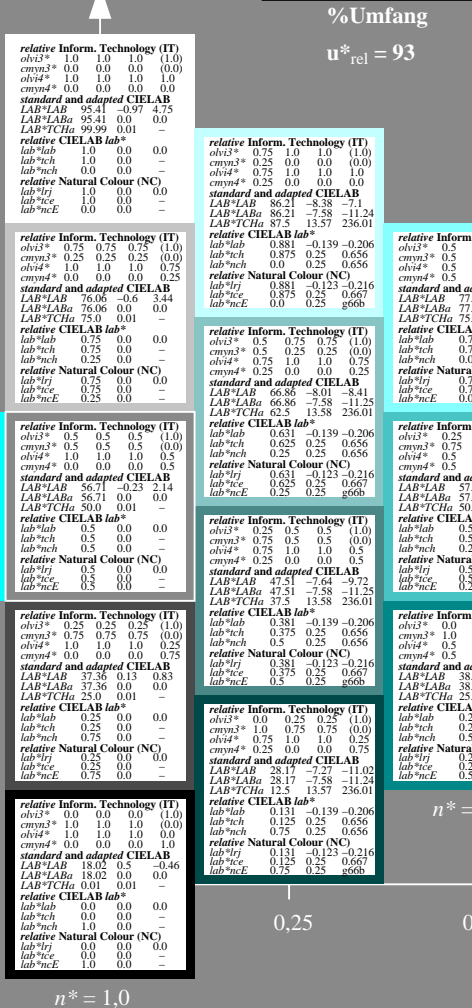
für Buntton  $h^* = lab^*h = 236/360 = 0.656$   
 $lab^*tch$  und  $lab^*nch$

D65: Buntton C  
 LCH\*Ma: 59 54 236  
 rgb\*Ma: 0.0 1.0 1.0

Dreiecks-Helligkeit



%Umfang  
 $u^*_{rel} = 93$



ORS18; adaptierte CIELAB-Daten

	$L^*=L^*_a$	$a^*_a$	$b^*_a$	$C^*_{ab,a}$	$h^*_{ab,a}$
OMa	47.94	65.37	50.52	82.62	38
YMa	90.37	-10.27	91.77	92.34	96
LMa	50.9	-62.79	34.95	71.87	151
CMa	58.62	-30.35	-45.01	54.3	236
VMa	25.71	31.11	-44.42	54.24	305
MMa	48.13	75.27	-8.35	75.73	354
N <sub>Ma</sub>	18.01	0.0	0.0	0.0	0
W <sub>Ma</sub>	95.41	0.0	0.0	0.0	0
RCIE	39.92	58.66	26.98	64.56	25
JCIE	81.26	-2.17	67.76	67.79	92
GCIE	52.23	-42.26	11.75	43.87	164
BCIE	30.57	1.15	-46.84	46.87	271

%Regularität  
 $g^*_{H,rel} = 57$   
 $g^*_{C,rel} = 59$

UG460-7, 5stufige Reihen für konstanten CIELAB Buntton 217/360 = 0.601 (links)

5stufige Reihen für konstanten CIELAB Buntton 236/360 = 0.656 (rechts)

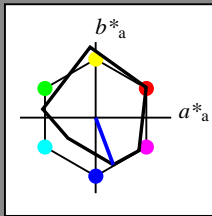
BAM-Prüfvorlage UG46; Farbmetrik-Systeme MRS18a & ORS18  
 D65: 5stufige Farbreihen und Koordinaten-Daten für 10 Bunttöne  
 input:  $cmY0^* setcmykcolor$   
 output:  $olv^* setrgbcolor / w^* setgray$

Eingabe: Farbmatisches Reflexions-System MRS18a

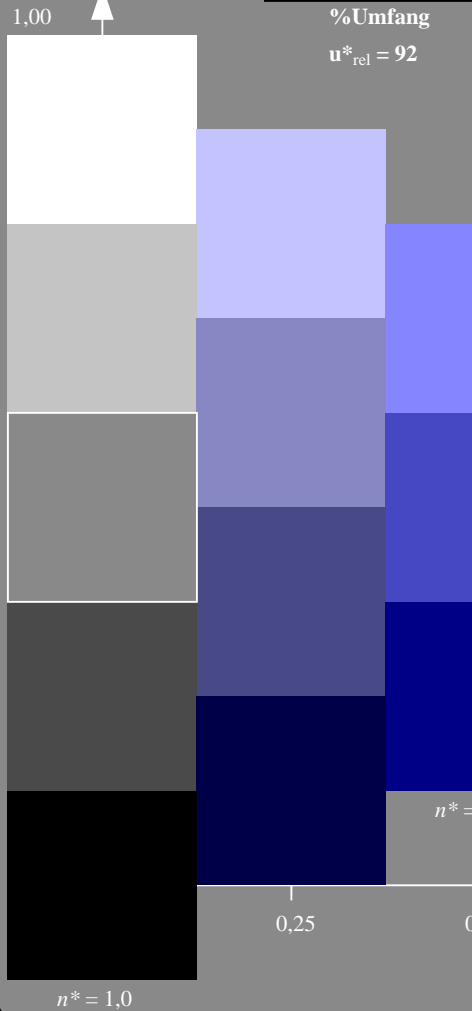
für Buntton  $h^* = lab^*h = 290/360 = 0.807$   
 $lab^*tch$  und  $lab^*nch$

D65: Buntton B  
 LCH\*Ma: 37 66 290  
 rgb\*Ma: 0.0 0.0 1.0

Dreiecks-Helligkeit



% Umfang  
 $u^*_{rel} = 92$



MRS18a; adaptierte CIELAB-Daten

	$L^* = L^*_a$	$a^*_a$	$b^*_a$	$C^*_{ab,a}$	$h^*_{ab,a}$
RMa	49.63	66.8	40.02	77.87	31
JMa	90.7	-7.27	93.19	93.48	94
GMa	52.11	-69.93	11.26	70.85	171
G50B <sub>Ma</sub>	45.03	-36.65	-27.13	45.61	217
B <sub>Ma</sub>	36.65	23.26	-62.27	66.49	290
B50R <sub>Ma</sub>	34.94	57.27	-43.6	71.99	323
N <sub>Ma</sub>	18.01	0.0	0.0	0.0	0
W <sub>Ma</sub>	95.41	0.0	0.0	0.0	0
RCIE	39.92	58.67	27.97	64.99	25
JCIE	81.26	-2.91	71.56	71.62	92
GCIE	52.23	-42.47	13.58	44.6	162
BCIE	30.57	1.33	-46.48	46.51	272

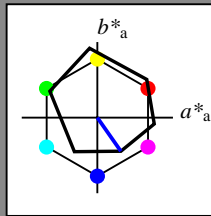
%Regularität  
 $g^*_{H,rel} = 42$   
 $g^*_{C,rel} = 49$

Ausgabe: Farbmatisches Reflexions-System ORS18

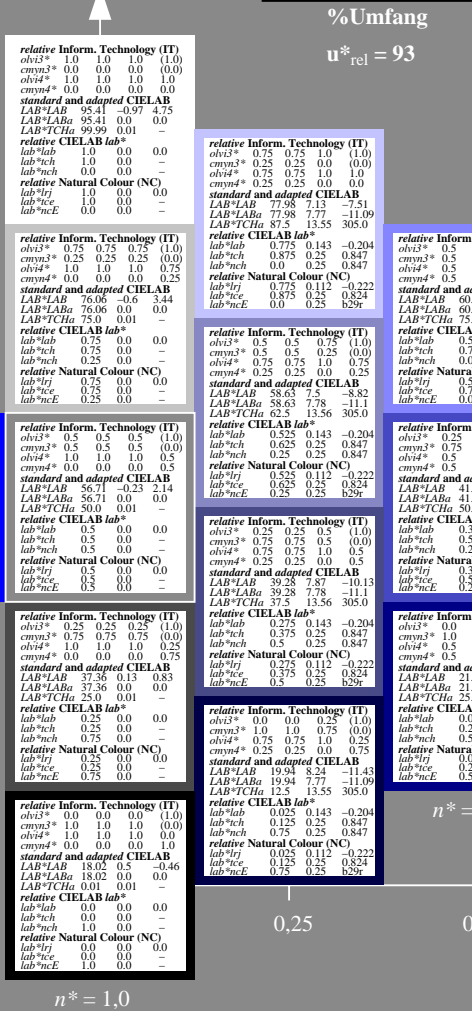
für Buntton  $h^* = lab^*h = 305/360 = 0.847$   
 $lab^*tch$  und  $lab^*nch$

D65: Buntton V  
 LCH\*Ma: 26 54 305  
 rgb\*Ma: 0.0 0.0 1.0

Dreiecks-Helligkeit



% Umfang  
 $u^*_{rel} = 93$



ORS18; adaptierte CIELAB-Daten

	$L^* = L^*_a$	$a^*_a$	$b^*_a$	$C^*_{ab,a}$	$h^*_{ab,a}$
OMa	47.94	65.37	50.52	82.62	38
YMa	90.37	-10.27	91.77	92.34	96
LMa	50.9	-62.79	34.95	71.87	151
CMa	58.62	-30.35	-45.01	54.3	236
V <sub>Ma</sub>	25.71	31.11	-44.42	54.24	305
M <sub>Ma</sub>	48.13	75.27	-8.35	75.73	354
N <sub>Ma</sub>	18.01	0.0	0.0	0.0	0
W <sub>Ma</sub>	95.41	0.0	0.0	0.0	0
RCIE	39.92	58.66	26.98	64.56	25
JCIE	81.26	-2.17	67.76	67.79	92
GCIE	52.23	-42.26	11.75	43.87	164
BCIE	30.57	1.15	-46.84	46.87	271

%Regularität  
 $g^*_{H,rel} = 57$   
 $g^*_{C,rel} = 59$

Siehe ähnliche Dateien: <http://www.ps.bam.de/UG46/>  
 Technische Information: <http://www.ps.bam.de/Version 2.1, io=0.1, CIEXYZ>

BAM-Registrierung: 20060101-UG46/10L/L46G04FP.PS/.PDF BAM-Material: Code=th4ta  
 Anwendung für Beurteilung und Messung von Drucker- oder Monitorsystemen, Yr=2.5, XYZ  
 /UG46/ Form 5/10, Serie: 1/1, Seite: 5  
 Seitenhang 5

UG460-7, 5stufige Reihen für konstanten CIELAB Buntton 290/360 = 0.807 (links)

5 stufige Reihen für konstanten CIELAB Buntton 305/360 = 0.847 (rechts)

BAM-Prüfvorlage UG46; Farbmatrik-Systeme MRS18a & ORS18 Input: `cmY0* setcmYcolor`

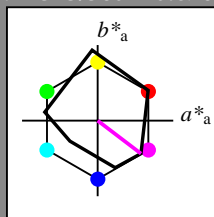
D65: 5stufige Farbreihen und Koordinaten-Daten für 10 Bunttöne Output: `olV* setrgbcolor / w* setgray`

Eingabe: Farbmatisches Reflexions-System MRS18a

für Buntton  $h^* = lab^*h = 323/360 = 0.896$   
 $lab^*tch$  und  $lab^*nch$

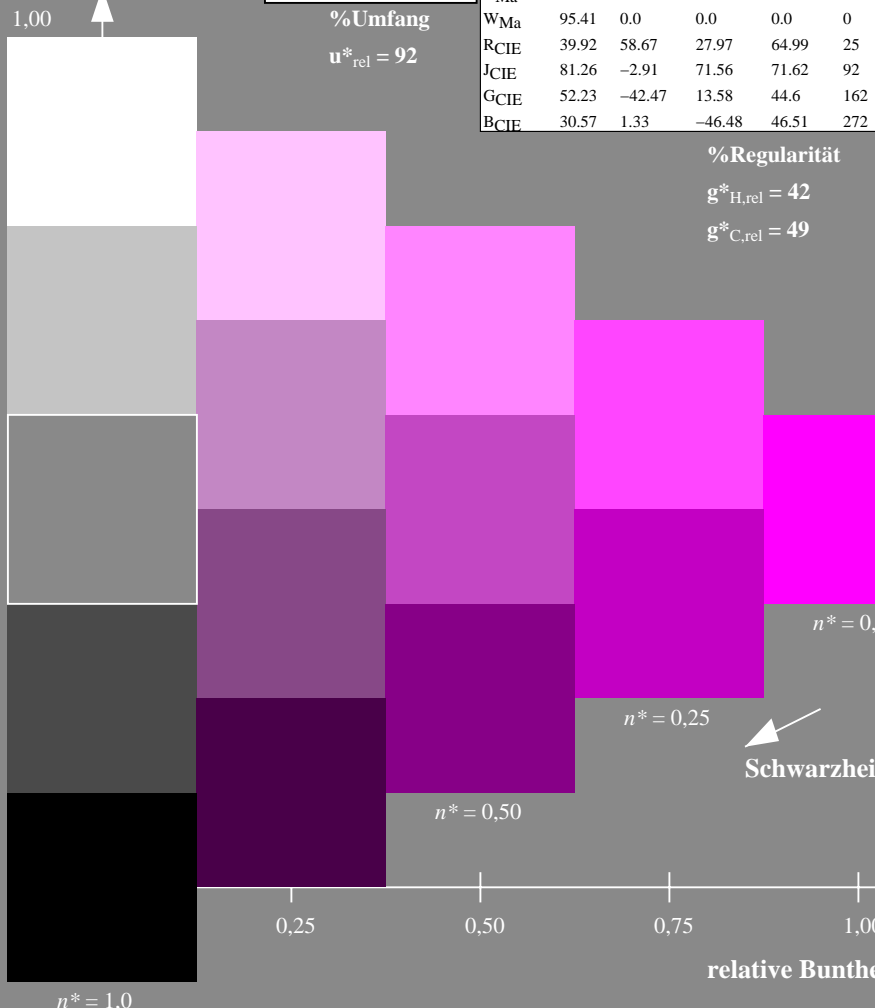
D65: Buntton B50R  
 LCH\*Ma: 35 72 323  
 rgb\*Ma: 1.0 0.0 1.0

Dreiecks-Helligkeit



% Umfang

$u^*_{rel} = 92$



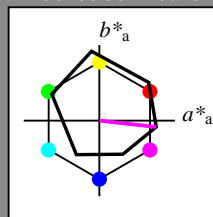
UG460-7, 5 stufige Reihen für konstanten CIELAB Buntton 323/360 = 0.896 (links)

Ausgabe: Farbmatisches Reflexions-System ORS18

für Buntton  $h^* = lab^*h = 354/360 = 0.982$   
 $lab^*tch$  und  $lab^*nch$

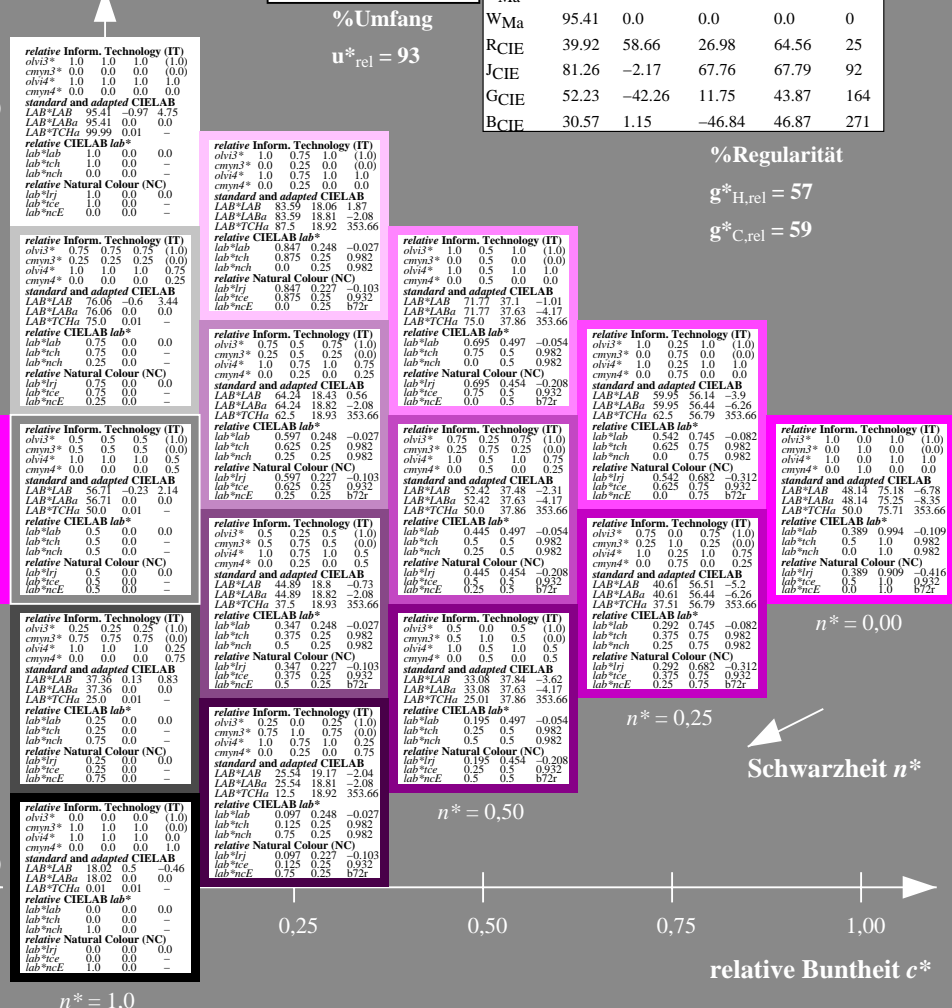
D65: Buntton M  
 LCH\*Ma: 48 76 354  
 rgb\*Ma: 1.0 0.0 1.0

Dreiecks-Helligkeit



% Umfang

$u^*_{rel} = 93$



5 stufige Reihen für konstanten CIELAB Buntton 354/360 = 0.982 (rechts)

MRS18a; adaptierte CIELAB-Daten

	$L^*=L^*_a$	$a^*_a$	$b^*_a$	$C^*_{ab,a}$	$h^*_{ab,a}$
RMa	49.63	66.8	40.02	77.87	31
JMa	90.7	-7.27	93.19	93.48	94
GMa	52.11	-69.93	11.26	70.85	171
G50B <sub>Ma</sub>	45.03	-36.65	-27.13	45.61	217
B <sub>Ma</sub>	36.65	23.26	-62.27	66.49	290
B50R <sub>Ma</sub>	34.94	57.27	-43.6	71.99	323
N <sub>Ma</sub>	18.01	0.0	0.0	0.0	0
W <sub>Ma</sub>	95.41	0.0	0.0	0.0	0
RCIE	39.92	58.67	27.97	64.99	25
JCIE	81.26	-2.91	71.56	71.62	92
GCIE	52.23	-42.47	13.58	44.6	162
BCIE	30.57	1.33	-46.48	46.51	272

%Regularität

$g^*_{H,rel} = 42$

$g^*_{C,rel} = 49$

1.00

0.75

$n^* = 0.00$

0.25

$n^* = 0.25$

Schwarzheit  $n^*$

$n^* = 0.50$

$n^* = 1.0$

ORS18; adaptierte CIELAB-Daten

	$L^*=L^*_a$	$a^*_a$	$b^*_a$	$C^*_{ab,a}$	$h^*_{ab,a}$
OMa	47.94	65.37	50.52	82.62	38
YMa	90.37	-10.27	91.77	92.34	96
LMa	50.9	-62.79	34.95	71.87	151
CMa	58.62	-30.35	-45.01	54.3	236
V <sub>Ma</sub>	25.71	31.11	-44.42	54.24	305
M <sub>Ma</sub>	48.13	75.27	-8.35	75.73	354
N <sub>Ma</sub>	18.01	0.0	0.0	0.0	0
W <sub>Ma</sub>	95.41	0.0	0.0	0.0	0
RCIE	39.92	58.66	26.98	64.56	25
JCIE	81.26	-2.17	67.76	67.79	92
GCIE	52.23	-42.26	11.75	43.87	164
BCIE	30.57	1.15	-46.84	46.87	271

%Regularität

$g^*_{H,rel} = 57$

$g^*_{C,rel} = 59$

1.00

0.75

$n^* = 0.00$

0.25

$n^* = 0.25$

Schwarzheit  $n^*$

$n^* = 0.50$

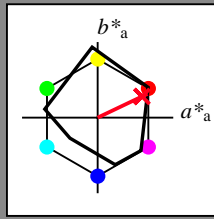
$n^* = 1.0$

Eingabe: Farbmatisches Reflexions-System MRS18a

für Buntton  $h^* = lab^*h = 25/360 = 0.071$   
 $lab^*tch$  und  $lab^*nch$

D65: Buntton R  
 LCH\*Ma: 48 73 25  
 rgb\*Ma: 1.0 0.0 0.1

Dreiecks-Helligkeit



MRS18a; adaptierte CIELAB-Daten

	$L^*=L^*_a$	$a^*_a$	$b^*_a$	$C^*_{ab,a}$	$h^*_{ab,a}$
RMa	49.63	66.8	40.02	77.87	31
JMa	90.7	-7.27	93.19	93.48	94
GMa	52.11	-69.93	11.26	70.85	171
G50B <sub>Ma</sub>	45.03	-36.65	-27.13	45.61	217
B <sub>Ma</sub>	36.65	23.26	-62.27	66.49	290
B50R <sub>Ma</sub>	34.94	57.27	-43.6	71.99	323
N <sub>Ma</sub>	18.01	0.0	0.0	0.0	0
W <sub>Ma</sub>	95.41	0.0	0.0	0.0	0
RCIE	39.92	58.67	27.97	64.99	25
JCIE	81.26	-2.91	71.56	71.62	92
GCIE	52.23	-42.47	13.58	44.6	162
BCIE	30.57	1.33	-46.48	46.51	272

%Regularität

$g^*_{H,rel} = 42$

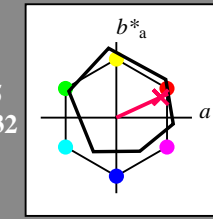
$g^*_{C,rel} = 49$

Ausgabe: Farbmatisches Reflexions-System ORS18

für Buntton  $h^* = lab^*h = 25/360 = 0.069$   
 $lab^*tch$  und  $lab^*nch$

D65: Buntton R  
 LCH\*Ma: 48 75 25  
 rgb\*Ma: 1.0 0.0 0.32

Dreiecks-Helligkeit



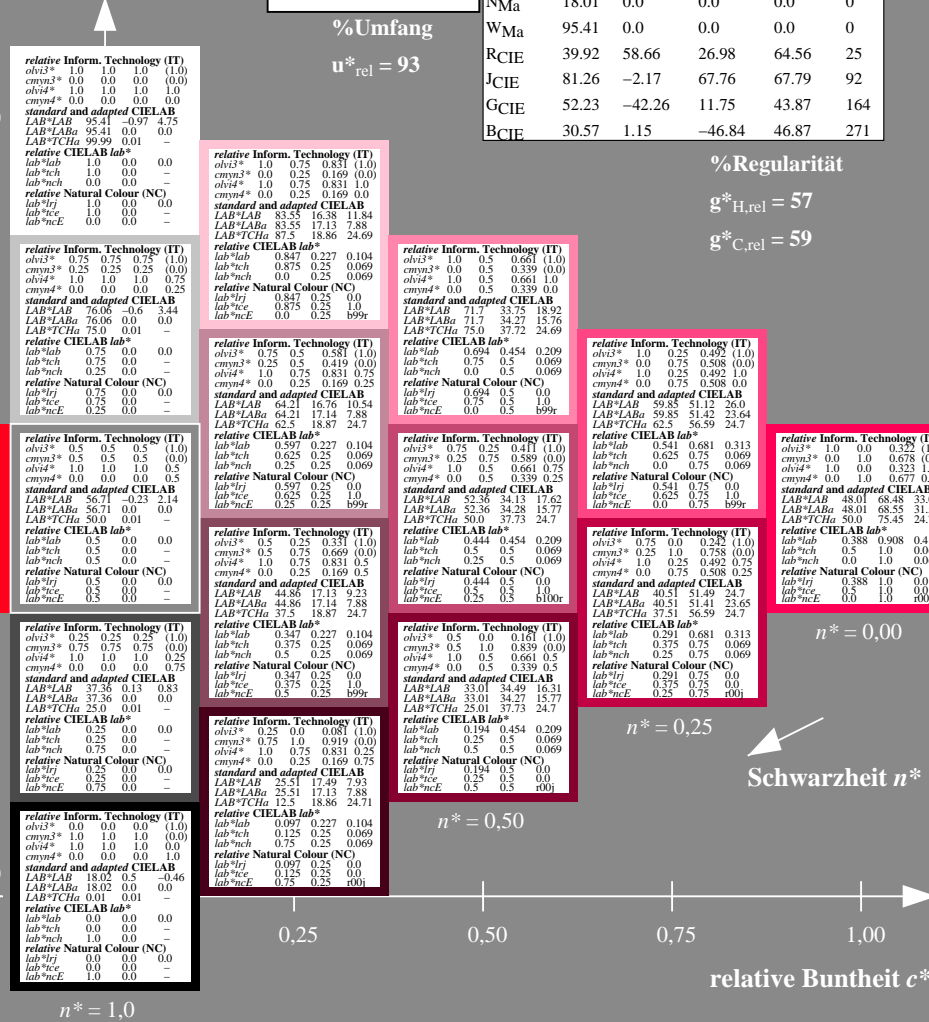
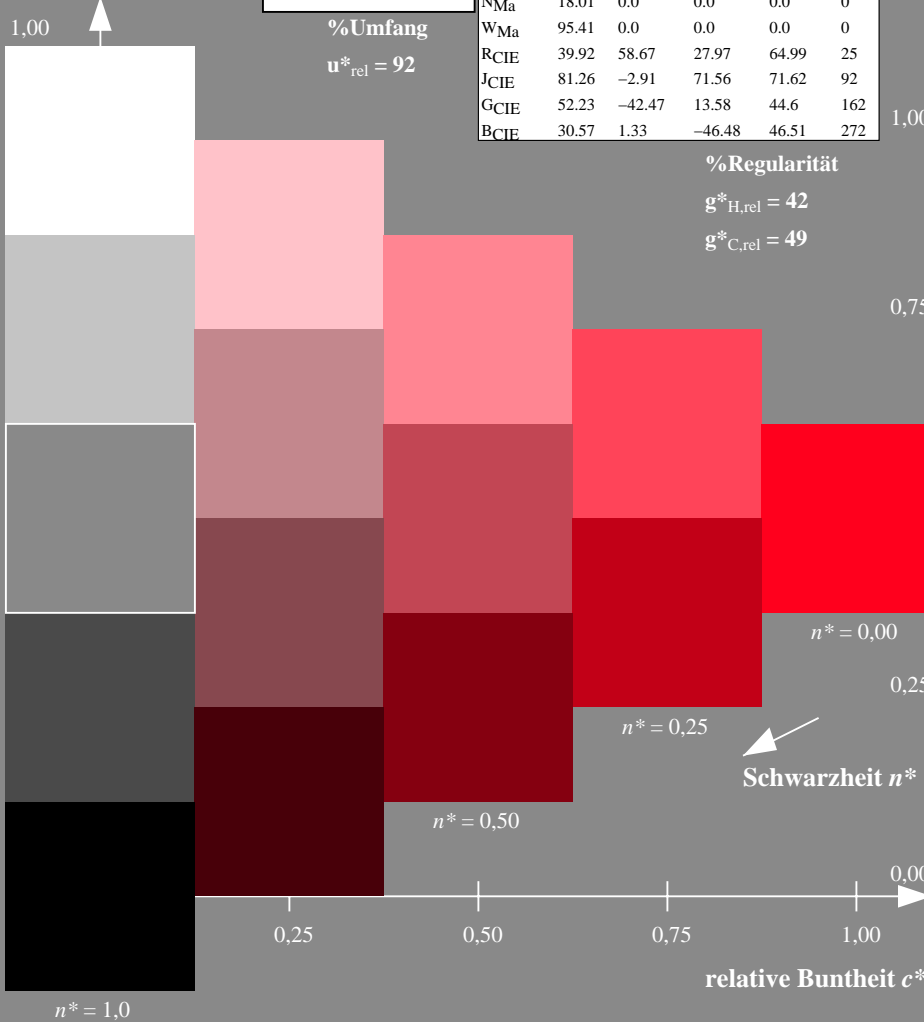
ORS18; adaptierte CIELAB-Daten

	$L^*=L^*_a$	$a^*_a$	$b^*_a$	$C^*_{ab,a}$	$h^*_{ab,a}$
OMa	47.94	65.37	50.52	82.62	38
YMa	90.37	-10.27	91.77	92.34	96
LMa	50.9	-62.79	34.95	71.87	151
CMa	58.62	-30.35	-45.01	54.3	236
V <sub>Ma</sub>	25.71	31.11	-44.42	54.24	305
M <sub>Ma</sub>	48.13	75.27	-8.35	75.73	354
N <sub>Ma</sub>	18.01	0.0	0.0	0.0	0
W <sub>Ma</sub>	95.41	0.0	0.0	0.0	0
RCIE	39.92	58.66	26.98	64.56	25
JCIE	81.26	-2.17	67.76	67.79	92
GCIE	52.23	-42.26	11.75	43.87	164
BCIE	30.57	1.15	-46.84	46.87	271

%Regularität

$g^*_{H,rel} = 57$

$g^*_{C,rel} = 59$



UG460-7, 5stufige Reihen für konstanten CIELAB Buntton 25/360 = 0.071 (links)

5 stufige Reihen für konstanten CIELAB Buntton 25/360 = 0.069 (rechts)

BAM-Prüfvorlage UG46; Farbmatrik-Systeme MRS18a & ORS18 input:  $cmY0^* setcmykcolor$

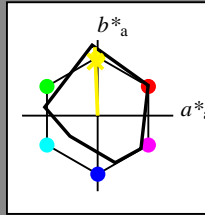
D65: 5stufige Farbreihen und Koordinaten-Daten für 10 Bunttöne output:  $olv^* setrgbcolor / w^* setgray$

Eingabe: Farbmatisches Reflexions-System MRS18a

für Buntton  $h^* = lab^*h = 92/360 = 0.256$   
 $lab^*tch$  und  $lab^*nch$

D65: Buntton J  
 LCH\*Ma: 89 91 92  
 rgb\*Ma: 1.0 0.95 0.0

Dreiecks-Helligkeit



MRS18a; adaptierte CIELAB-Daten

	$L^*=L^*_a$	$a^*_a$	$b^*_a$	$C^*_{ab,a}$	$h^*_{ab,a}$
RMa	49.63	66.8	40.02	77.87	31
JMa	90.7	-7.27	93.19	93.48	94
GMa	52.11	-69.93	11.26	70.85	171
G50B <sub>Ma</sub>	45.03	-36.65	-27.13	45.61	217
B <sub>Ma</sub>	36.65	23.26	-62.27	66.49	290
B50R <sub>Ma</sub>	34.94	57.27	-43.6	71.99	323
N <sub>Ma</sub>	18.01	0.0	0.0	0.0	0
W <sub>Ma</sub>	95.41	0.0	0.0	0.0	0
RCIE	39.92	58.67	27.97	64.99	25
JCIE	81.26	-2.91	71.56	71.62	92
GCIE	52.23	-42.47	13.58	44.6	162
BCIE	30.57	1.33	-46.48	46.51	272

%Regularität

$g^*_{H,rel} = 42$

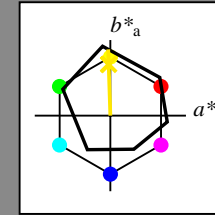
$g^*_{C,rel} = 49$

Ausgabe: Farbmatisches Reflexions-System ORS18

für Buntton  $h^* = lab^*h = 92/360 = 0.255$   
 $lab^*tch$  und  $lab^*nch$

D65: Buntton J  
 LCH\*Ma: 86 88 92  
 rgb\*Ma: 1.0 0.9 0.0

Dreiecks-Helligkeit



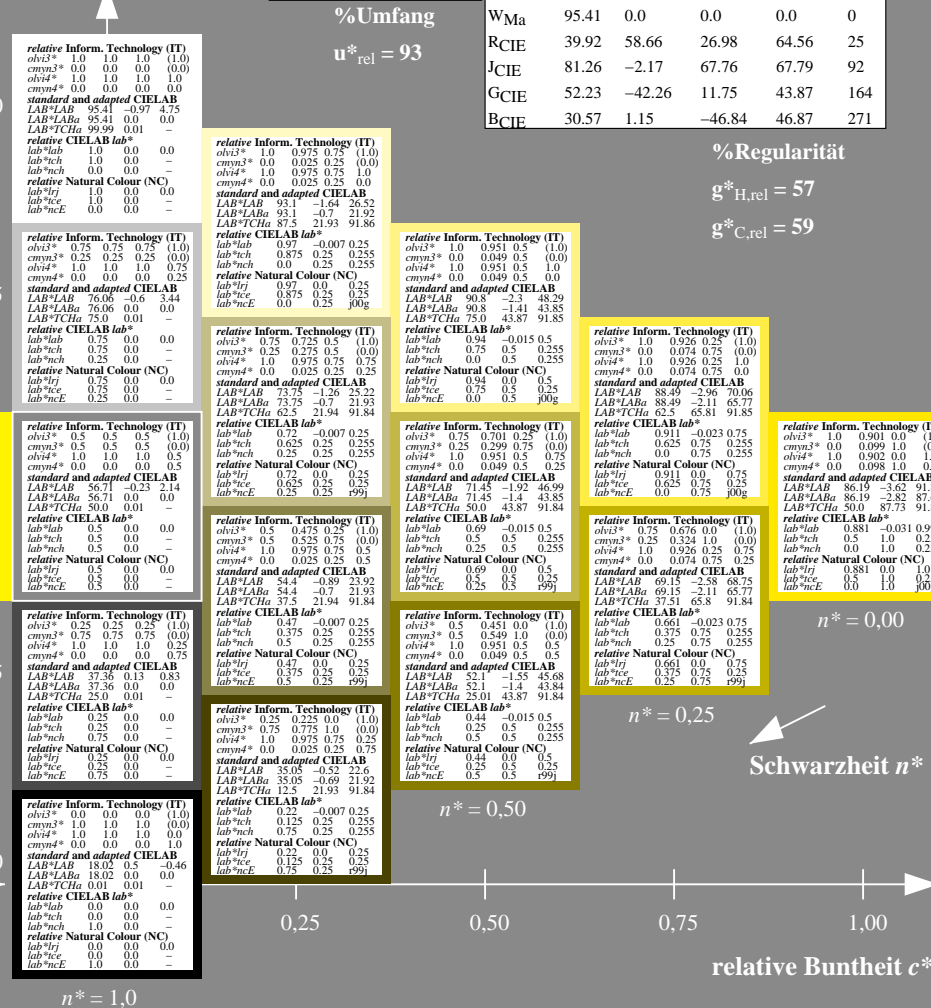
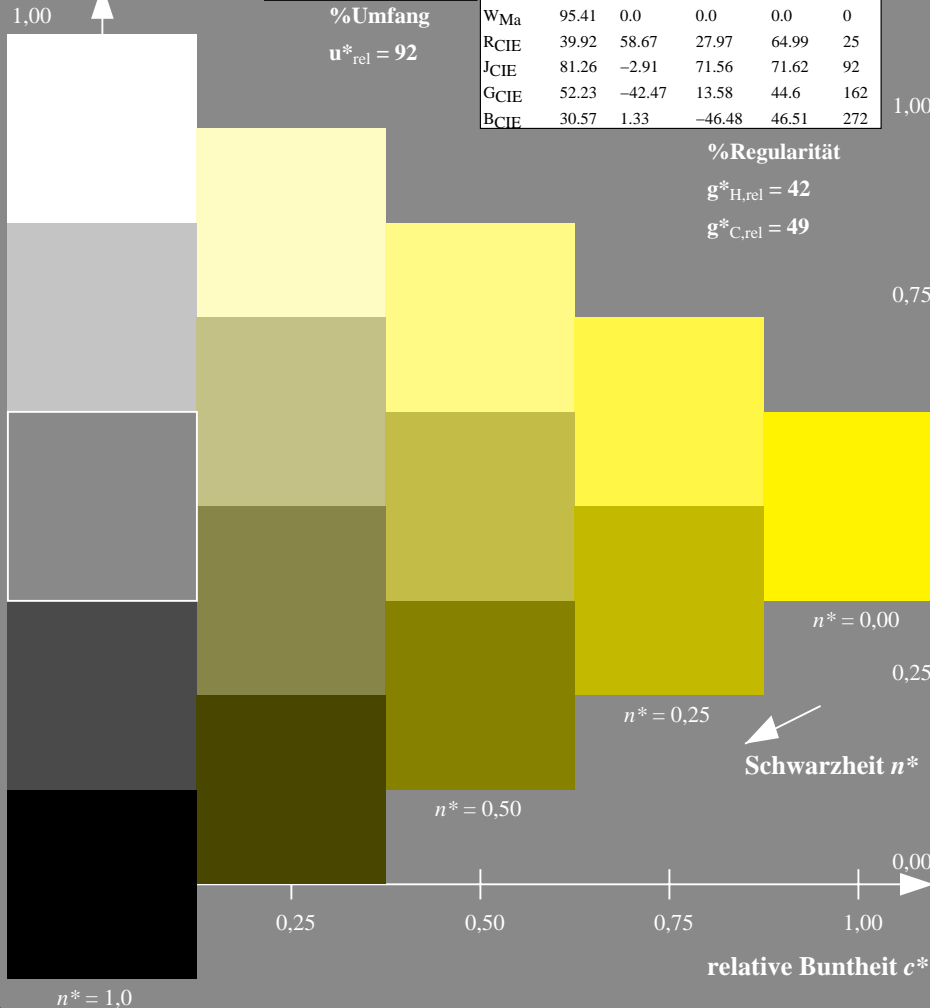
ORS18; adaptierte CIELAB-Daten

	$L^*=L^*_a$	$a^*_a$	$b^*_a$	$C^*_{ab,a}$	$h^*_{ab,a}$
OMa	47.94	65.37	50.52	82.62	38
YMa	90.37	-10.27	91.77	92.34	96
LMa	50.9	-62.79	34.95	71.87	151
CMa	58.62	-30.35	-45.01	54.3	236
V <sub>Ma</sub>	25.71	31.11	-44.42	54.24	305
M <sub>Ma</sub>	48.13	75.27	-8.35	75.73	354
N <sub>Ma</sub>	18.01	0.0	0.0	0.0	0
W <sub>Ma</sub>	95.41	0.0	0.0	0.0	0
RCIE	39.92	58.66	26.98	64.56	25
JCIE	81.26	-2.17	67.76	67.79	92
GCIE	52.23	-42.26	11.75	43.87	164
BCIE	30.57	1.15	-46.84	46.87	271

%Regularität

$g^*_{H,rel} = 57$

$g^*_{C,rel} = 59$



UG460-7, 5stufige Reihen für konstanten CIELAB Buntton 92/360 = 0.256 (links)

5 stufige Reihen für konstanten CIELAB Buntton 92/360 = 0.255 (rechts)

BAM-Prüfvorlage UG46; Farbmatrik-Systeme MRS18a & ORS18 Input:  $cmY0^* setcmykcolor$

D65: 5stufige Farbreihen und Koordinaten-Daten für 10 Bunttöneoutput:  $olv^* setrgbcolor / w^* setgray$

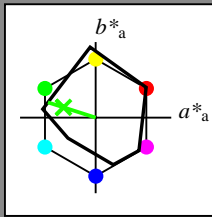


Eingabe: Farbmatisches Reflexions-System MRS18a

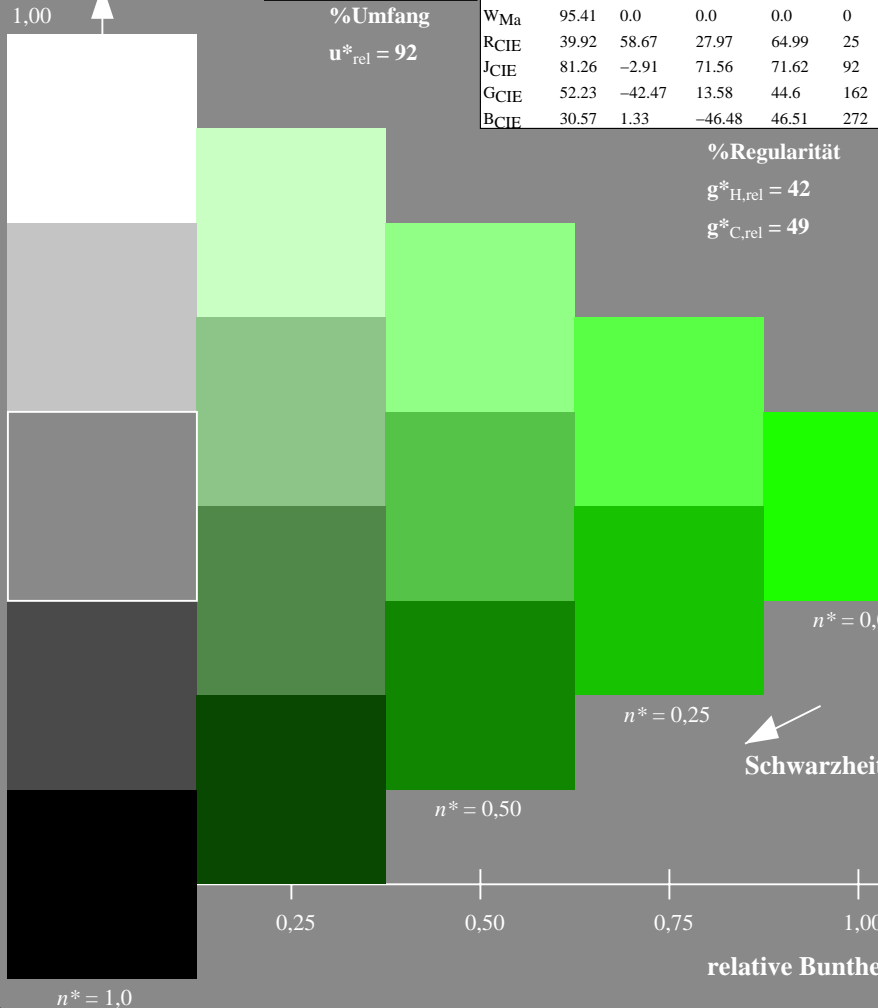
für Buntton  $h^* = lab^*h = 162/360 = 0.451$   
 $lab^*tch$  und  $lab^*nch$

D65: Buntton G  
 LCH\*Ma: 56 66 162  
 rgb\*Ma: 0.11 1.0 0.0

Dreiecks-Helligkeit



%Umfang  
 $u^*_{rel} = 92$



MRS18a; adaptierte CIELAB-Daten

	$L^* = L^*_a$	$a^*_a$	$b^*_a$	$C^*_{ab,a}$	$h^*_{ab,a}$
RMa	49.63	66.8	40.02	77.87	31
JMa	90.7	-7.27	93.19	93.48	94
GMa	52.11	-69.93	11.26	70.85	171
G50B <sub>Ma</sub>	45.03	-36.65	-27.13	45.61	217
B <sub>Ma</sub>	36.65	23.26	-62.27	66.49	290
B50R <sub>Ma</sub>	34.94	57.27	-43.6	71.99	323
N <sub>Ma</sub>	18.01	0.0	0.0	0.0	0
W <sub>Ma</sub>	95.41	0.0	0.0	0.0	0
RCIE	39.92	58.67	27.97	64.99	25
JCIE	81.26	-2.91	71.56	71.62	92
GCIE	52.23	-42.47	13.58	44.6	162
BCIE	30.57	1.33	-46.48	46.51	272

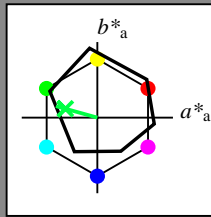
%Regularität  
 $g^*_{H,rel} = 42$   
 $g^*_{C,rel} = 49$

Ausgabe: Farbmatisches Reflexions-System ORS18

für Buntton  $h^* = lab^*h = 164/360 = 0.457$   
 $lab^*tch$  und  $lab^*nch$

D65: Buntton G  
 LCH\*Ma: 53 57 164  
 rgb\*Ma: 0.0 1.0 0.25

Dreiecks-Helligkeit

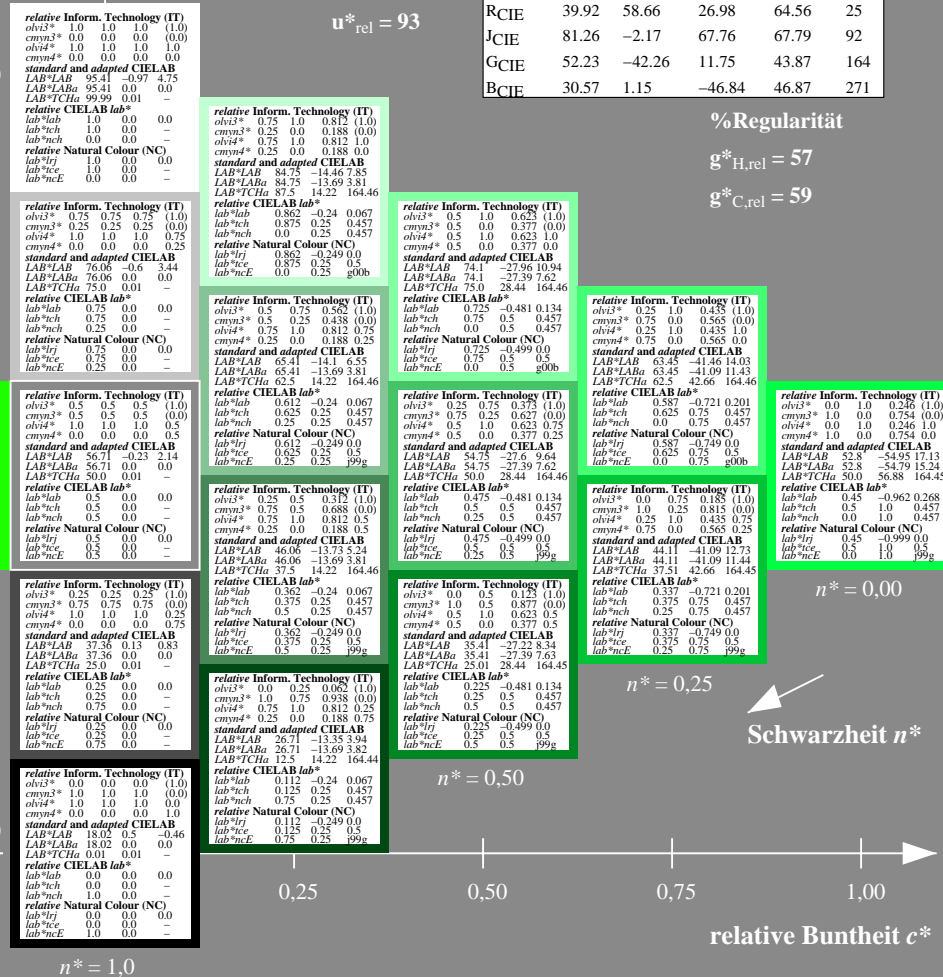


%Umfang  
 $u^*_{rel} = 93$

ORS18; adaptierte CIELAB-Daten

	$L^* = L^*_a$	$a^*_a$	$b^*_a$	$C^*_{ab,a}$	$h^*_{ab,a}$
OMa	47.94	65.37	50.52	82.62	38
YMa	90.37	-10.27	91.77	92.34	96
LMa	50.9	-62.79	34.95	71.87	151
CMa	58.62	-30.35	-45.01	54.3	236
VMa	25.71	31.11	-44.42	54.24	305
MMa	48.13	75.27	-8.35	75.73	354
N <sub>Ma</sub>	18.01	0.0	0.0	0.0	0
W <sub>Ma</sub>	95.41	0.0	0.0	0.0	0
RCIE	39.92	58.66	26.98	64.56	25
JCIE	81.26	-2.17	67.76	67.79	92
GCIE	52.23	-42.26	11.75	43.87	164
BCIE	30.57	1.15	-46.84	46.87	271

%Regularität  
 $g^*_{H,rel} = 57$   
 $g^*_{C,rel} = 59$



relative Inform. Technology (IT)  
 $obv^*_3 = 1.0$  1.0 1.0 (1.0)  
 $cmyn^*_3 = 0.0$  0.0 0.0 (0.0)  
 $obv^*_4 = 1.0$  1.0 1.0 1.0  
 $cmyn^*_4 = 0.0$  0.0 0.0 0.0  
 standard and adapted CIELAB  
 LAB\*LAB 95.41 -0.97 4.75  
 LAB\*LABa 95.41 0.0 0.0  
 LAB\*TC<sub>Ma</sub> 99.99 0.01 -

relative Inform. Technology (IT)  
 $obv^*_3 = 0.75$  1.0 0.812 (1.0)  
 $cmyn^*_3 = 0.25$  0.0 0.188 (0.0)  
 $obv^*_4 = 0.75$  1.0 0.812 1.0  
 $cmyn^*_4 = 0.25$  0.0 0.188 0.0  
 standard and adapted CIELAB  
 LAB\*LAB 84.75 -14.46 7.85  
 LAB\*LABa 84.75 -13.69 3.81  
 LAB\*TC<sub>Ma</sub> 87.5 14.22 164.46

relative Inform. Technology (IT)  
 $obv^*_3 = 0.5$  0.75 0.75 (1.0)  
 $cmyn^*_3 = 0.25$  0.0 0.25 (0.0)  
 $obv^*_4 = 1.0$  1.0 1.0 1.0  
 $cmyn^*_4 = 0.0$  0.0 0.0 0.0  
 standard and adapted CIELAB  
 LAB\*LAB 76.06 -0.6 3.44  
 LAB\*LABa 76.06 0.0 0.0  
 LAB\*TC<sub>Ma</sub> 75.0 0.01 -

relative Inform. Technology (IT)  
 $obv^*_3 = 0.5$  0.75 0.75 (1.0)  
 $cmyn^*_3 = 0.25$  0.0 0.25 (0.0)  
 $obv^*_4 = 0.75$  1.0 0.812 0.75  
 $cmyn^*_4 = 0.25$  0.0 0.188 0.25  
 standard and adapted CIELAB  
 LAB\*LAB 65.41 -14.1 6.55  
 LAB\*LABa 65.41 -13.69 3.81  
 LAB\*TC<sub>Ma</sub> 62.5 14.22 164.46

relative Inform. Technology (IT)  
 $obv^*_3 = 0.5$  0.75 0.75 (1.0)  
 $cmyn^*_3 = 0.5$  0.5 0.5 (0.0)  
 $obv^*_4 = 1.0$  1.0 1.0 1.0  
 $cmyn^*_4 = 0.0$  0.0 0.0 0.0  
 standard and adapted CIELAB  
 LAB\*LAB 56.71 0.23 2.14  
 LAB\*LABa 56.71 0.0 0.0  
 LAB\*TC<sub>Ma</sub> 50.0 0.01 -

relative Inform. Technology (IT)  
 $obv^*_3 = 0.5$  0.75 0.75 (1.0)  
 $cmyn^*_3 = 0.5$  0.5 0.5 (0.0)  
 $obv^*_4 = 0.75$  1.0 0.812 0.75  
 $cmyn^*_4 = 0.25$  0.0 0.188 0.25  
 standard and adapted CIELAB  
 LAB\*LAB 46.06 -13.75 2.24  
 LAB\*LABa 46.06 -13.69 3.81  
 LAB\*TC<sub>Ma</sub> 37.5 14.22 164.46

relative Inform. Technology (IT)  
 $obv^*_3 = 0.5$  0.5 0.5 (0.0)  
 $cmyn^*_3 = 0.5$  0.5 0.5 (0.0)  
 $obv^*_4 = 0.5$  0.5 0.5 (0.0)  
 $cmyn^*_4 = 0.5$  0.5 0.5 (0.0)  
 standard and adapted CIELAB  
 LAB\*LAB 37.36 0.13 0.83  
 LAB\*LABa 37.36 0.0 0.0  
 LAB\*TC<sub>Ma</sub> 25.0 0.01 -

relative Inform. Technology (IT)  
 $obv^*_3 = 0.5$  0.5 0.5 (0.0)  
 $cmyn^*_3 = 0.5$  0.5 0.5 (0.0)  
 $obv^*_4 = 0.5$  0.5 0.5 (0.0)  
 $cmyn^*_4 = 0.5$  0.5 0.5 (0.0)  
 standard and adapted CIELAB  
 LAB\*LAB 26.71 0.13 0.83  
 LAB\*LABa 26.71 -13.69 3.82  
 LAB\*TC<sub>Ma</sub> 12.5 14.22 164.46

relative Inform. Technology (IT)  
 $obv^*_3 = 0.5$  0.5 0.5 (0.0)  
 $cmyn^*_3 = 0.5$  0.5 0.5 (0.0)  
 $obv^*_4 = 0.5$  0.5 0.5 (0.0)  
 $cmyn^*_4 = 0.5$  0.5 0.5 (0.0)  
 standard and adapted CIELAB  
 LAB\*LAB 18.02 0.5 0.46  
 LAB\*LABa 18.02 0.0 0.0  
 LAB\*TC<sub>Ma</sub> 0.01 0.01 -

relative Inform. Technology (IT)  
 $obv^*_3 = 0.5$  0.5 0.5 (0.0)  
 $cmyn^*_3 = 1.0$  0.5 0.877 (0.0)  
 $obv^*_4 = 0.5$  1.0 0.623 (0.0)  
 $cmyn^*_4 = 0.5$  0.0 0.377 (0.5)  
 standard and adapted CIELAB  
 LAB\*LAB 35.41 -27.28 3.54  
 LAB\*LABa 35.41 -27.39 7.63  
 LAB\*TC<sub>Ma</sub> 25.01 28.44 164.45

relative Inform. Technology (IT)  
 $obv^*_3 = 0.0$  0.0 0.0 (1.0)  
 $cmyn^*_3 = 1.0$  1.0 1.0 (0.0)  
 $obv^*_4 = 1.0$  1.0 1.0 1.0  
 $cmyn^*_4 = 0.0$  0.0 0.0 0.0  
 standard and adapted CIELAB  
 LAB\*LAB 0.01 0.0 0.0  
 LAB\*LABa 0.0 0.0 0.0  
 LAB\*TC<sub>Ma</sub> 1.0 0.0 0.0

relative Inform. Technology (IT)  
 $obv^*_3 = 0.0$  0.0 0.0 (1.0)  
 $cmyn^*_3 = 1.0$  0.75 0.938 (0.0)  
 $obv^*_4 = 0.5$  1.0 0.812 0.5  
 $cmyn^*_4 = 0.25$  0.0 0.188 0.75  
 standard and adapted CIELAB  
 LAB\*LAB 26.71 0.13 0.83  
 LAB\*LABa 26.71 -13.69 3.82  
 LAB\*TC<sub>Ma</sub> 12.5 14.22 164.46

relative Inform. Technology (IT)  
 $obv^*_3 = 0.0$  0.0 0.0 (1.0)  
 $cmyn^*_3 = 1.0$  1.0 1.0 (0.0)  
 $obv^*_4 = 1.0$  1.0 1.0 1.0  
 $cmyn^*_4 = 0.0$  0.0 0.0 0.0  
 standard and adapted CIELAB  
 LAB\*LAB 0.0 0.0 0.0  
 LAB\*LABa 0.0 0.0 0.0  
 LAB\*TC<sub>Ma</sub> 1.0 0.0 0.0

relative Inform. Technology (IT)  
 $obv^*_3 = 0.0$  0.0 0.0 (1.0)  
 $cmyn^*_3 = 1.0$  0.75 0.938 (0.0)  
 $obv^*_4 = 0.5$  1.0 0.812 0.5  
 $cmyn^*_4 = 0.25$  0.0 0.188 0.75  
 standard and adapted CIELAB  
 LAB\*LAB 18.02 0.5 0.46  
 LAB\*LABa 18.02 0.0 0.0  
 LAB\*TC<sub>Ma</sub> 0.01 0.01 -

relative Inform. Technology (IT)  
 $obv^*_3 = 0.0$  0.0 0.0 (1.0)  
 $cmyn^*_3 = 1.0$  1.0 1.0 (0.0)  
 $obv^*_4 = 1.0$  1.0 1.0 1.0  
 $cmyn^*_4 = 0.0$  0.0 0.0 0.0  
 standard and adapted CIELAB  
 LAB\*LAB 0.0 0.0 0.0  
 LAB\*LABa 0.0 0.0 0.0  
 LAB\*TC<sub>Ma</sub> 1.0 0.0 0.0

relative Inform. Technology (IT)  
 $obv^*_3 = 0.0$  0.0 0.0 (1.0)  
 $cmyn^*_3 = 1.0$  0.75 0.938 (0.0)  
 $obv^*_4 = 0.5$  1.0 0.812 0.5  
 $cmyn^*_4 = 0.25$  0.0 0.188 0.75  
 standard and adapted CIELAB  
 LAB\*LAB 9.01 0.11 0.249 (0.0)  
 LAB\*LABa 9.01 0.125 0.5  
 LAB\*TC<sub>Ma</sub> 0.75 0.25 0.999

relative Inform. Technology (IT)  
 $obv^*_3 = 0.0$  0.0 0.0 (1.0)  
 $cmyn^*_3 = 1.0$  1.0 1.0 (0.0)  
 $obv^*_4 = 1.0$  1.0 1.0 1.0  
 $cmyn^*_4 = 0.0$  0.0 0.0 0.0  
 standard and adapted CIELAB  
 LAB\*LAB 0.0 0.0 0.0  
 LAB\*LABa 0.0 0.0 0.0  
 LAB\*TC<sub>Ma</sub> 1.0 0.0 0.0

relative Inform. Technology (IT)  
 $obv^*_3 = 0.0$  0.0 0.0 (1.0)  
 $cmyn^*_3 = 1.0$  0.75 0.938 (0.0)  
 $obv^*_4 = 0.5$  1.0 0.812 0.5  
 $cmyn^*_4 = 0.25$  0.0 0.188 0.75  
 standard and adapted CIELAB  
 LAB\*LAB 0.0 0.0 0.0  
 LAB\*LABa 0.0 0.0 0.0  
 LAB\*TC<sub>Ma</sub> 1.0 0.0 0.0

UG460-7, 5 stufige Reihen für konstanten CIELAB Buntton 162/360 = 0.451 (links)

5 stufige Reihen für konstanten CIELAB Buntton 164/360 = 0.457 (rechts)

BAM-Prüfvorlage UG46; Farbmatrik-Systeme MRS18a & ORS18 Input:  $cmyo^* setcmymcolor$

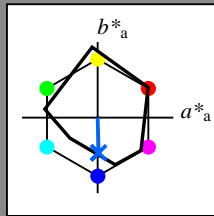
D65: 5stufige Farbreihen und Koordinaten-Daten für 10 Bunttöne Output:  $olv^* setrgbcolor / w^* setgray$

Eingabe: Farbmatisches Reflexions-System MRS18a

für Buntton  $h^* = lab^*h = 272/360 = 0.755$   
 $lab^*tch$  und  $lab^*nch$

D65: Buntton B  
 LCH\*Ma: 40 49 272  
 rgb\*Ma: 0.0 0.36 1.0

Dreiecks-Helligkeit



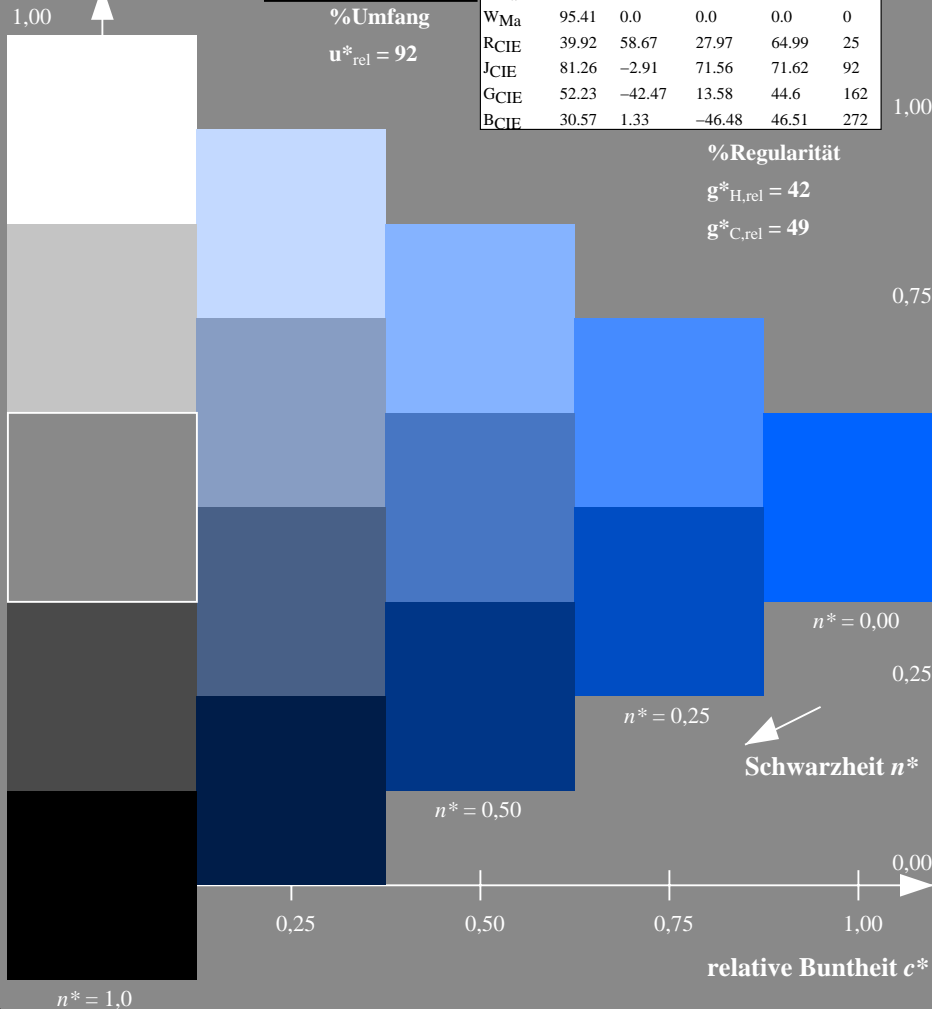
MRS18a; adaptierte CIELAB-Daten

	$L^*=L^*_a$	$a^*_a$	$b^*_a$	$C^*_{ab,a}$	$h^*_{ab,a}$
RMa	49.63	66.8	40.02	77.87	31
JMa	90.7	-7.27	93.19	93.48	94
GMa	52.11	-69.93	11.26	70.85	171
G50B <sub>Ma</sub>	45.03	-36.65	-27.13	45.61	217
B <sub>Ma</sub>	36.65	23.26	-62.27	66.49	290
B50R <sub>Ma</sub>	34.94	57.27	-43.6	71.99	323
N <sub>Ma</sub>	18.01	0.0	0.0	0.0	0
W <sub>Ma</sub>	95.41	0.0	0.0	0.0	0
RCIE	39.92	58.67	27.97	64.99	25
JCIE	81.26	-2.91	71.56	71.62	92
GCIE	52.23	-42.47	13.58	44.6	162
BCIE	30.57	1.33	-46.48	46.51	272

%Regularität

$g^*_{H,rel} = 42$

$g^*_{C,rel} = 49$

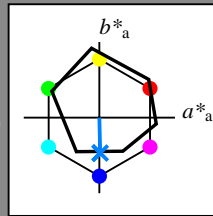


Ausgabe: Farbmatisches Reflexions-System ORS18

für Buntton  $h^* = lab^*h = 271/360 = 0.754$   
 $lab^*tch$  und  $lab^*nch$

D65: Buntton B  
 LCH\*Ma: 42 45 271  
 rgb\*Ma: 0.0 0.49 1.0

Dreiecks-Helligkeit



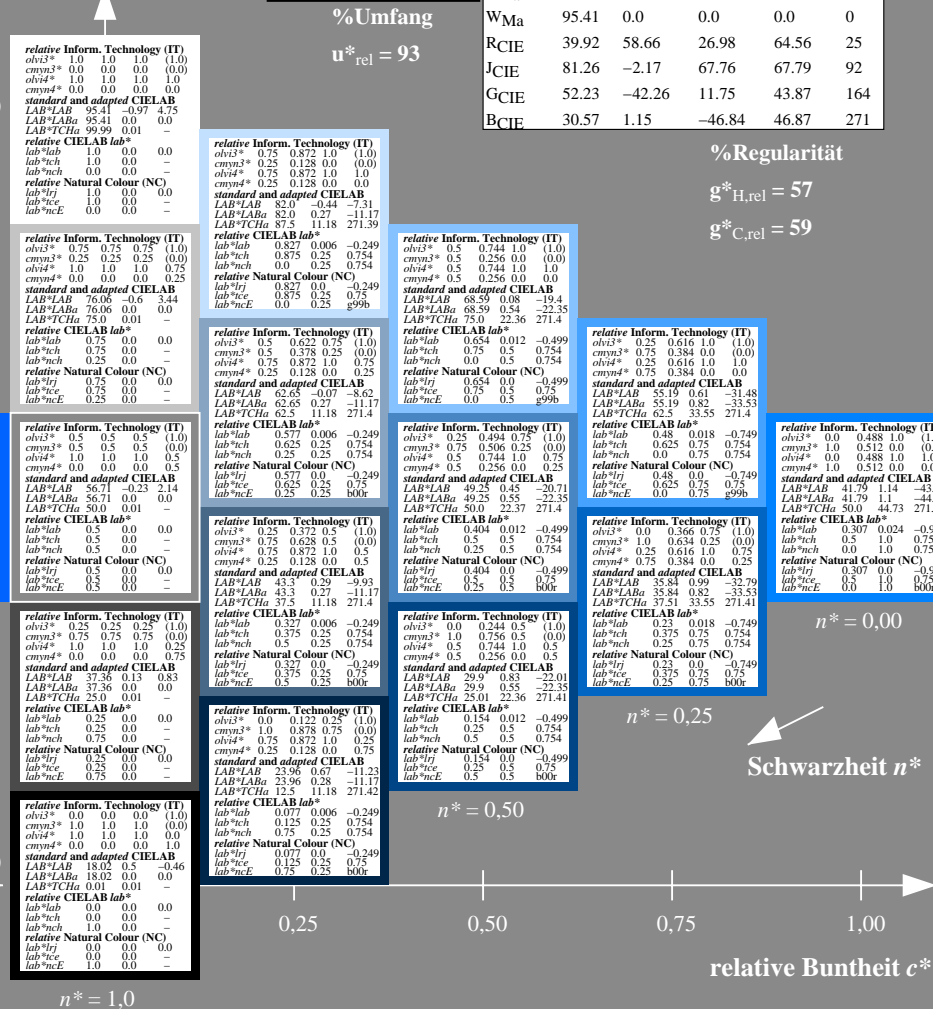
ORS18; adaptierte CIELAB-Daten

	$L^*=L^*_a$	$a^*_a$	$b^*_a$	$C^*_{ab,a}$	$h^*_{ab,a}$
OMa	47.94	65.37	50.52	82.62	38
YMa	90.37	-10.27	91.77	92.34	96
LMa	50.9	-62.79	34.95	71.87	151
CMa	58.62	-30.35	-45.01	54.3	236
VMa	25.71	31.11	-44.42	54.24	305
MMa	48.13	75.27	-8.35	75.73	354
N <sub>Ma</sub>	18.01	0.0	0.0	0.0	0
W <sub>Ma</sub>	95.41	0.0	0.0	0.0	0
RCIE	39.92	58.66	26.98	64.56	25
JCIE	81.26	-2.17	67.76	67.79	92
GCIE	52.23	-42.26	11.75	43.87	164
BCIE	30.57	1.15	-46.84	46.87	271

%Regularität

$g^*_{H,rel} = 57$

$g^*_{C,rel} = 59$



UG460-7, 5 stufige Reihen für konstanten CIELAB Buntton 272/360 = 0.755 (links)

5 stufige Reihen für konstanten CIELAB Buntton 271/360 = 0.754 (rechts)

BAM-Prüfvorlage UG46; Farbmatrik-Systeme MRS18a & ORS18

D65: 5stufige Farbreihen und Koordinaten-Daten für 10 Bunttöneoutput:  $olv^* setrgbcolor$  /  $w^* setgray$

Siehe ähnliche Dateien: <http://www.ps.bam.de/UG46/>  
 Technische Information: <http://www.ps.bam.de> Version 2.1, io=0.1, CIEXYZ

BAM-Registrierung: 20060101-UG46/10L/L46G09FP.PS/.PDF BAM-Material: Code=th4ta  
 Anwendung für Beurteilung und Messung von Drucker- oder Monitorsystemen, Yr=2.5, XYZ  
 /UG46/ Form: 10/0 (Seite: 1/1, Seite: 10) Seite: 10